

УДК 539.2:548

©1995

## ПРИМЕСНЫЕ КОЛЕБАТЕЛЬНЫЕ МОДЫ В КРИСТАЛЛАХ $MgO-Fe^{2+}$ И $MgO-Fe^{3+}$

*В.Г.Мазуренко, И.А.Вайнштейн, В.С.Кортов, А.Н.Вараксин*

Уральский государственный технический университет,  
620002, Екатеринбург, Россия  
(Поступила в Редакцию 9 марта 1995 г.)

В рамках оболочечной модели рекурсивным методом проведены расчеты частот резонансных колебаний, индуцируемых примесью железа в различном зарядовом состоянии и катионной вакансией в кристаллах  $MgO$ . Полученные значения частот удовлетворительно согласуются с экспериментальными данными. Получены также данные по смещениям ионов в дефектной области.

В связи с развитием вычислительных методов расчетов неэмпирических параметров межионных потенциалов взаимодействия в ионных кристаллах [1-3] стало возможным моделирование динамики решетки реальных кристаллов без каких-либо подгоночных параметров [4]. Такие модельные расчеты локализованных колебаний были проведены для ряда дефектных ионных кристаллов [4]. В плане распространения неэмпирических подходов к расчету деформации фононных спектров кристаллов представляет интерес моделирование колебательного спектра дефектных ионно-ковалентных кристаллов.

Настоящая работа посвящена исследованию деформации структуры кристаллов  $MgO$  примесями железа в различном зарядовом состоянии и влиянию этих примесей на колебательный спектр кристаллов.

### 1. Межионные потенциалы и структуры дефектов

При расчете энергетических характеристик дефектов использовали модель оболочек, короткодействующая часть в которой имеет вид

$$V(r) = A \exp(-r/\rho) - C/r^6.$$

Параметры потенциалов взаимодействия рассматриваемых ионов, полученные в работах [1,2], представлены в табл. 1. Из нее видно, что параметры потенциалов межионных взаимодействий пар  $Fe^{2+}-O^{2-}$  и  $Fe^{3+}-O^{2-}$  близки друг к другу.

В настоящей работе рассмотрены следующие изолированные дефекты: примеси замещения  $Fe^{2+}$ ,  $Fe^{3+}$  и катионная вакансия. Смещения ионов в дефектной области рассчитывали по программе MOLSTAT [5].

Таблица 1

Параметры потенциалов межионного взаимодействия

Пары ионов	$A$ , eV	$\rho$ , Å	$C$ , eV·Å <sup>6</sup>
Mg <sup>2+</sup> —Mg <sup>2+</sup>	18147.90	0.15	0.53
Mg <sup>2+</sup> —O <sup>2-</sup>	1275.20	0.30	4.45
O <sup>2-</sup> —O <sup>2-</sup>	22764.30	0.15	20.37
Fe <sup>2+</sup> —Fe <sup>2+</sup>	12042.47	0.21	5.16
Fe <sup>2+</sup> —O <sup>2-</sup>	1249.10	0.31	29.73
Fe <sup>3+</sup> —Fe <sup>3+</sup>	30115.30	0.18	2.43
Fe <sup>3+</sup> —O <sup>2-</sup>	3970.28	0.27	19.16

Таблица 1 (продолжение)

Ион	$Z$ ,  e	$Y$ ,  e	$k$ , eV·Å <sup>-2</sup>
Mg <sup>2+</sup>	+2.0	2.0	10000
O <sup>2-</sup>	-2.0	-2.62	38.03
Fe <sup>2+</sup>	+2.0	2.0	10000
Fe <sup>3+</sup>	+3.0	3.37	10000

Таблица 2

Смещение ионов вблизи дефектов в кристаллах MgO—Fe<sup>2+</sup> и MgO—Fe<sup>3+</sup> (в долях постоянной решетки  $a = 2.106 \text{ \AA}$ )

Дефект	Первая координационная сфера	Вторая координационная сфера
Fe <sup>2+</sup>	0.0072	—
Fe <sup>3+</sup>	0.1221	-0.0240
Катионная вакансия	-0.0972	0.0327

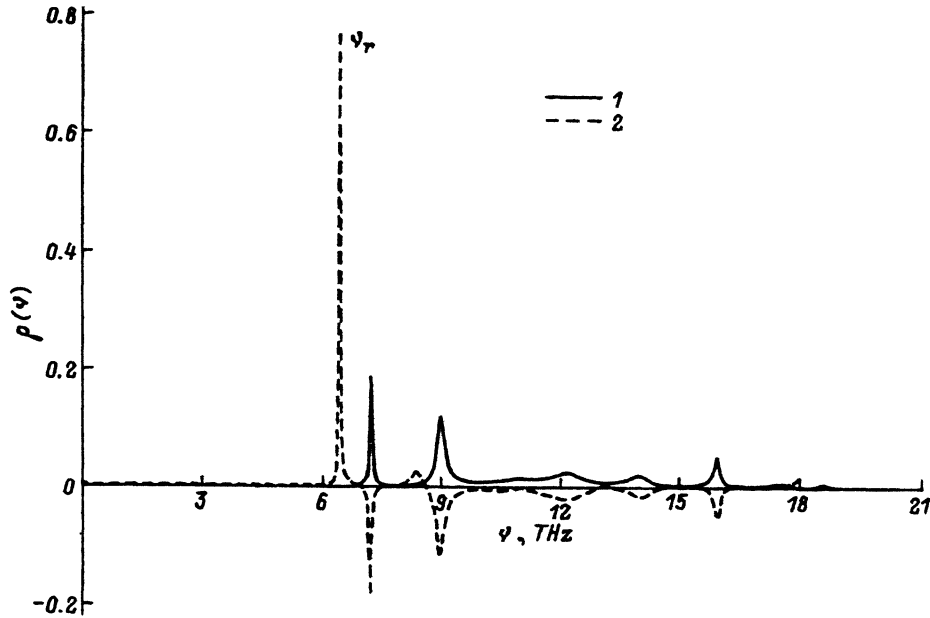
В табл. 2 приведены значения смещений ближайших к дефектам ионов в долях постоянной решетки. Эти значения согласуются с данными работы [6]. Знак — означает смещения ионов от дефекта.

В случае изовалентной примеси замещения Fe<sup>2+</sup> наблюдается незначительное смещение ионов первой конфигурационной сферы, увеличение заряда примеси приводит к значительным смещениям ионов дефектной области. Для вакансии наблюдается смещение ионов от вакансии, что соответствует избыточному отрицательному заряду катионной вакансии.

## 2. Расчет локализованных колебаний

Введение дефектов в кристалл приводит к изменению его фонового спектра, что отражается в появлении квазилокальных или локальных колебаний.

Расчет частот локализованных колебаний проводили рекурсивным методом по схеме, описанной в [4]. Для этого сначала рассчитывали



СЛПС  $\rho(\nu)$  (в относительных единицах) для кристалла  $MgO F^{2+}$  ( $T_{1u}$ ).  
1 — идеальный кристалл, 2 — приращение СЛПС в дефектном кристалле.

симметризованные локальные плотности состояний (СЛПС) фононов в идеальном кристалле, а затем в кристалле с дефектом. Из приращения СЛПС для дефектного и идеального кристаллов выделяли частоты локализованных колебаний, индуцируемых различными дефектами.

Все исследуемые дефекты обладают позиционной симметрией  $O_h$ . Были выполнены расчеты симметризованных колебаний, спроектированных на первые две координационные сферы вокруг дефекта. Эта область содержит 19 ионов, и колебательное представление размерности  $(57 \times 57)$  распадается по неприводимым представлениям точечной группы  $O_h$  следующим образом:

$$\Gamma = 2A_{1g} + 3E_g + 3T_{1g} + 3T_{2g} + A_{1u} + A_{2u} + E_u + 6T_{1u} + 3T_{2u}.$$

Отметим, что колебания симметрии  $A_{1g}$ ,  $E_g$ ,  $T_{2g}$  активны в Рамановском рассеянии, а  $T_{1u}$  — в ИК-поглощении.

Таблица 3

Расчетные значения частот локализованных колебаний в кристаллах MgO с дефектами (THz)

Дефект	Тип симметрии			
	$A_{1g}$	$E_g$	$T_{2g}$	$T_{1u}$
$Fe^{2+}$	—	15.83	—	6.47
$Fe^{3+}$	—	15.95	8.51	4.77
Катионная вакансия	8.69	—	—	—

Все расчеты проводили для кластеров из 200–250 ионов. Рассчитывали 10–11 пар коэффициентов функции Грина в непрерывную дробь [4]. Еще несколько десятков пар коэффициентов и их асимптотические значения определяли с помощью интерполяционной процедуры, описанной в [4].

На рисунке в качестве примера представлена СЛПС типа  $T_{1u}$ , спроектированная на первую координационную сферу из анионов, в идеальном кристалле MgO (сплошная линия) и приращение СЛПС в дефектном кристалле MgO–Fe<sup>2+</sup> (штриховая линия). В низкочастотной области спектра при введении примеси замещения появляется резонансное колебание  $\nu_r$  с частотой 6.47 THz.

Результирующие данные расчетов локализованных колебаний для других типов симметрии и дефектов представлены в табл. 3.

### 3. Обсуждение результатов расчетов

Согласно экспериментальным данным, максимальная частота фононного спектра идеального кристалла MgO имеет значение  $\nu_{max} \approx 22.18$  THz [7]. Известно, что для кристаллов MgO (структура NaCl), согласно теоретико-групповому анализу, спектр КР первого порядка отсутствует. Введение дефектов в кристалл может привести к нарушению правил отбора по волновому вектору, когда становятся активными фононы с нецелевым волновым вектором. Кроме того, могут появиться квазилокальные или локальные колебания. При введении ионов Fe<sup>2+</sup> в решетку кристалла MgO в основном изменяется масса иона. Это приводит, по нашим расчетам, к появлению квазилокального колебательного уровня с частотой 6.47 THz.

К сожалению, данные по ИК-поглощению кристаллов MgO–Fe<sup>2+</sup> отсутствуют. В [8] приведены данные по КР света дефектными кристаллами MgO–Fe<sup>2+</sup> для  $A_{1g^-}$ ,  $E_g^-$  и  $T_{2g}$ -типов симметрии. В этих спектрах наряду со структурой, совпадающей с однофононной плотностью состояний, авторы [8] наблюдали дополнительный широкий пик на частоте около 5.40 THz, который они связали с резонансным колебанием. Однако для этих типов симметрии сама примесь в колебаниях не участвует, и все искажения в фононном спектре могут быть обусловлены только изменением межионных взаимодействий. Для системы MgO–Fe<sup>2+</sup> наши расчеты не дают каких-либо резонансных колебаний четных типов симметрии в области около 5.40 THz. Это вполне объяснимо, поскольку параметры межионных взаимодействий, как отмечалось выше, для пар ионов Mg<sup>2+</sup>–O<sup>2-</sup> и Fe<sup>2+</sup>–O<sup>2-</sup> близки. Вероятно, пик в спектрах КР кристаллов MgO–Fe<sup>2+</sup> около 5.40 THz связан с какими-то другими дефектами.

Из наших расчетов следует, что в колебаниях симметрии  $E_g$  существует резонансное колебание с частотой около 15.83 THz. В эксперименте [8] наблюдается пик около 14.69 THz. Однофононная плотность состояний в этой области особенностей не имеет. Появление этого пика, вероятно, связано с изменением Ван-дер-Ваальсовского члена при переходе от взаимодействия Mg<sup>2+</sup>–O<sup>2-</sup> к Fe<sup>2+</sup>–O<sup>2-</sup>. При введении ионов Fe<sup>3+</sup> в решетку кристалла MgO в силу выполнения условий электронейтральности решетки необходимо образование катионных вакан-

сий для зарядовой компенсации. В настоящей работе рассмотрен случай нелокальной зарядовой компенсации, т.е. примесь  $\text{Fe}^{3+}$  и катионная вакансия находятся на значительном расстоянии друг от друга.

Согласно нашим расчетам, в кристаллах  $\text{MgO}-\text{Fe}^{3+}$ , так же как и в кристалле  $\text{MgO}-\text{Fe}^{2+}$ , существует низкочастотное квазилокальное колебание типа  $T_{1u}$  на частоте 4.77 THz, являющееся следствием изотопического эффекта (изменение массы). Кроме того, для колебаний симметрии  $E_g$  и  $T_{2g}$  наблюдаются резонансные колебания с частотами 15.95 THz ( $E_g$ ) и 8.51 THz ( $T_{2g}$ ) (табл. 3). Эти резонансные колебания являются следствием ужесточения силовых постоянных при переходе от ионов  $\text{Fe}^{2+}$  к ионам  $\text{Fe}^{3+}$  (табл. 1), а также релаксации решетки. Катионная вакансия индуцирует резонансное колебание симметрии  $A_{1g}$  на частоте около 8.69 THz.

В [9] исследовались спектры КР кристаллов  $\text{MgO}-\text{Fe}^{3+}$ . Так же как и в кристаллах  $\text{MgO}-\text{Fe}^{2+}$ , авторы [9] наблюдали в области до 22.18 THz спектр, соответствующий нарушениям правил отбора по волновому вектору. Наряду с низкочастотным квазилокальным колебанием 5.40 THz для геометрий опытов симметрий  $E_g$  и  $T_{2g}$  наблюдались два пика с частотами около 14.69 THz ( $E_g$ ) и 9.29 THz ( $T_{2g}$ ). Природу последних пиков авторы работы [9] не обсуждали.

Из наших расчетов следует, что пики в спектрах КР кристаллов  $\text{MgO}-\text{Fe}^{3+}$  в области 5.40 THz связаны с рассеянием света на резонансных колебаниях, индуцируемых другими дефектами (не ионом  $\text{Fe}^{3+}$  или катионной вакансиею), присутствующими в кристаллах. Пики же с частотами 14.69 THz ( $E_g$ ) и 9.29 THz ( $T_{2g}$ ) могут быть обусловлены рассеянием света на резонансных колебаниях, индуцируемых примесью  $\text{Fe}^{3+}$  с избыточным положительным зарядом. Для подтверждения сделанных выводов целесообразна постановка специальных экспериментов.

### Список литературы

- [1] Stoneham A.M., Sangster M.J.L. Phil. Mag. **B43**, 4, 609 (1981).
- [2] Sangster M.J.L., Stoneham A.M. Phil. Mag. **B43**, 4, 597 (1981).
- [3] Никифоров А.Е., Шашкин С.Ю. Спектроскопия кристаллов. Л. (1989). С. 44–61.
- [4] Мазуренко В.Г., Кислов А.Н. ФТТ **33**, 11, 3433 (1991).
- [5] Колмогоров Ю.Н., Вараксин А.Н. Деп. в ВИНТИ, рег. № 2395 (1989).
- [6] Sangster M.J.L. J. Phys. **C14**, 2889 (1981).
- [7] Sangster M.J.L., Peckham G., Saunderson D.H. J. Phys. **C3**, 1026 (1970).
- [8] Billat A., Mon J.P., Voisin M. Phys. Stat. Sol. (b) **67**, 335 (1975).
- [9] Billat A., Mon J.P., Voisin M. J. Phys. **C9**, 1337 (1976).